

استفاده کرد.
 واژه های کلیدی: شاخص فرسایندگی ، MUSLE ، USLE ، USLE_M ، RUSLE و هشتروود

مقدمه

مهر فرسایش خاک با توجه به اهمیت آن به ویژه از نظر کاهش تولیدات کشاورزی ضروری است. نخستین گام در این مورد، پیش بینی هدر رفت خاک و ارزیابی عوامل عمدی موثر بر آن است [۳۶]. به دلیل این که از یک سو تعیین مستقیم فرسایش هزینه بر و مستلزم وقت زیاد می باشد و نیز نتایج حاصل از آن اغلب منطقه ای و محدود می باشد، روش هایی جهت برآورد فرسایش ارائه شده است. این روش ها شامل روابط ساده تا مدل های پیچیده می باشند. مهار فرسایش خاک با توجه به اهمیت آن به ویژه از نظر کاهش تولیدات کشاورزی ضروری است. نخستین گام در این مورد، پیش بینی هدر رفت خاک و ارزیابی عوامل عمدی موثر بر آن است [۳۶]. به دلیل این که از یک سو تعیین مستقیم فرسایش هزینه بر و مستلزم وقت زیاد می باشد و نیز نتایج حاصل از آن اغلب منطقه ای و محدود می باشد، روش هایی جهت برآورد فرسایش ارائه شده است. این روش ها شامل روابط ساده تا مدل های پیچیده می باشند. مهار فرسایش خاک با توجه به اهمیت آن به ویژه از نظر کاهش تولیدات کشاورزی ضروری است. نخستین گام در این مورد، پیش بینی هدر رفت خاک و ارزیابی عوامل عمدی موثر بر آن است [۳۶]. به دلیل این که از یک سو تعیین مستقیم فرسایش هزینه بر و مستلزم وقت زیاد می باشد و نیز نتایج حاصل از آن اغلب منطقه ای و محدود می باشد، روش هایی جهت برآورد فرسایش ارائه شده است. این روش ها شامل روابط ساده تا مدل های پیچیده می باشند.

$$A = R \cdot K \cdot L \cdot S \cdot C \cdot P \quad (1)$$

که در آن: A هدر رفت خاک (تن در هکتار در سال)، R عامل فرسایندگی باران (مگاژول میلی متر در هکتار در ساعت در سال)، L عامل فرسایش پذیری (تن ساعت در مگاژول در میلی متر)، K عامل طول شیب (بدون واحد)، S عامل درجه شیب (بدون واحد)، C عامل پوشش گیاهی (بدون واحد) و P عامل کارهای حفاظتی (بدون واحد) است [۳۷].

بر اساس USLE، هدر رفت خاک در کرت استاندارد^۶ یا واحد (زمینی با شیب ۹ درصد به عرض ۱/۸۳ و طول ۲۲/۱ متر است که در جهت شیب شخم خورده و سطح آن بدون پوشش گیاهی یا بقایایی آن می باشد) تابعی از عامل فرسایندگی باران (R) و عامل فرسایش پذیری خاک (K) است (A=R·K). چنانچه فرسایش در یک خاک معین در رخدادهای گوناگون باران مورد بررسی قرار گیرد هدر رفت خاک تنها به عامل فرسایندگی باران بستگی خواهد داشت. این شاخص بیانگر توانایی بالقوه باران در هدر رفت خاک از امتداد

5- Universal Soil Loss Equation
 6- Standard plot

ارزیابی شاخص های فرسایندگی مدل های

USLE_M و RUSLE ، MUSLE ، USLE

در خاک های ناحیه ای نیمه خشک در جنوب

استان آذربایجان شرقی

علیرضا واعظی^۱ ، حسینعلی بهرامی^۲ ، سید حمید رضا صادقی^۳ و محمدحسین مهدیان^۴

تاریخ دریافت: ۸۷/۵/۸ تاریخ پذیرش: ۸۷/۹/۳۰

چکیده

فرسایندگی، توانایی عامل فرساینده در جداسازی ذرات خاک را بیان می کند. این پژوهش به منظور تعیین شاخص فرسایندگی مناسب بر اساس مدل های USLE_M ، MUSLE ، USLE و RUSLE انجام گرفت. آزمایش های صحرایی در دیم زارهای ناحیه نیمه خشک در منطقه ای به ابعاد ۳۰ کیلومتر در شهرستان هشت روود واقع در شمال غربی ایران طی سال ۱۳۸۴ و ۱۳۸۵ انجام شد. در سطح منطقه، ۳۶ کشتزار دارای شیب ۹ درصد و تحت آیش انتخاب و در هر کشتزار، سه کرت استاندارد ایجاد شدند. مقدار رواناب و هدر رفت خاک در ۴۱ رخداد باران منجر به رسوب طی دوره ای دو ساله اندازه گیری شدند. شاخص فرسایندگی در مدل های یاد شده بر اساس داده های باران و رواناب تعیین شد. نتایج نشان داد که رواناب بالاترین همبستگی را با شاخص فرسایندگی مدل USLE_M با ضریب تبیین ۹ درصد دارد. بر اساس نتایج، شاخص فرسایندگی مدل USLE، مناسب ترین شاخص (R=۰/۰۸۸، p<۰/۰۰۱) (R=۰/۰۸۰، p<۰/۰۰۱) برای پیش بینی هدر رفت خاک در رخدادهای گوناگون باران در منطقه است. جهت پیش بینی آسان مقدار هدر رفت خاک در ناحیه نیمه خشک مورد بررسی می توان به گونه ای مستقیم از شاخص انرژی جنبشی باران به گونه ای قابل اطمینانی (R=۰/۰۸۰، p<۰/۰۰۱) (R=۰/۰۸۰، p<۰/۰۰۱)

۱- نویسنده مسئول و استادیار گروه خاکشناسی دانشکده کشاورزی دانشگاه زنجان vaezi.alireza@gmail.com

۲- دانشیار گروه خاکشناسی دانشکده کشاورزی دانشگاه تربیت مدرس

۳- دانشیار گروه آبخیزداری دانشکده منابع طبیعی دانشگاه تربیت مدرس

۴- استادیار پژوهش سازمان تحقیقات، ترویج و آموزش کشاورزی، وزارت کشاورزی

[۴] در حوضه آبخیز رودخانه شهرچای در استان آذربایجان غربی نشان داد که به کارگیری مدل MUSLE برای برآورد رسوب رویدادهای منفرد با ضرایب اصلاحی قابل توصیه می باشد، ولی استفاده از آن برای برآورد رسوب سالیانه به علت داشتن اختلاف زیاد با مقادیر مشاهداتی قابل اعتماد نمی باشد. بررسی های سرخوش [۸] نیز در حوضه ای آبخیز درکه نشان داد که در صورت تصحیح ضرایب مدل MUSLE، بین مقادیر برآورده و مشاهده ای رسوبدهی در رویدادهای گوناگون، همبستگی خوبی ($R^2 = 0.96$) دیده می شود.

در نسخه تصحیح شده رابطه جهانی فرایش خاک^۴ یا RUSLE، فرایندگی باران (R_{Rusle}) از حاصلضرب انرژی جنبشی و بیشترین شدت ۳۰ دقیقه ای باران (EI_{30}) به دست می آید. انرژی جنبشی باران (E) نیز از رابطه ای زیر به دست می آید [۳۷]:

$$E = \sum_{i=1}^j KE.d \quad (6)$$

که در آن: KE انرژی جنبشی رگبار در واحد ارتفاع رگبار بر حسب مگاژول در هکتار در میلی متر ($MJ ha^{-1} mm^{-1}$) و d ارتفاع رگبار بر حسب (mm) در i امین زمانی است که شدت بارندگی طی مدت بارندگی یکسان می باشد. مقدار KE از رابطه زیر به دست آمد:

$$KE = e_r \Delta V_r \quad (7)$$

که در آن: er انرژی رگبار در واحد عمق باران بر حسب مگاژول در هکتار در ساعت i ($MJ ha^{-1} mm^{-1} h^{-1}$) و ΔV_r تداوم رگبار بر حسب (h) برای r امین فاصله زمانی با شدت ثابت می باشد. مقدار er بر اساس شدت رگبار از رابطه زیر به دست می آید [۳۷]:

$$e_r = 0.29 \exp(-0.05(1-0.72)) \quad (8)$$

که در آن: ΔV_r شدت رگبار بر حسب میلی متر در ساعت (h^{-1}) برای r امین فاصله زمانی با شدت ثابت می باشد. (mm)

مدل RUSLE پایه فیزیکی محکم تری نسبت به USLE دارد و در اراضی غیر زراعی نیز استفاده می شود و در فرایش شیاری و سطحی و سایر شکل های فرایش به کار می رود. بررسی های پورعبدالله و تجریشی [۲] در زیر حوضه ای امامه در حوضه ای آبخیز سد لیان نشان داد که مدل RUSLE، مقدار رسوب سالانه را بیش از ۵ برابر مقدار واقعی برآورد می کند. با این وجود بررسی های میرزایی و همکاران [۱۲] در جاجرود (شاخص اصلی سد لیان) نشان داد که مدل RUSLE دارای دقت ۸۷ درصد در برآورد رسوب سالانه است.

در مدل USLE_M، حاصلضرب EI_{30} و ضریب رواناب (Q_R) به صورت $Q_R EI_{30}$ به عنوان شاخص فرایندگی (R_{USLE-M}) برای بیان هدررفت خاک در اثر فرایش آبی بیان شده است [۲۹]. پژوهش های گوناگون نشان می دهد که عامل فرایندگی مدل های RUSLE [۳۹]MUSLE ، [۲۷، ۴۳، ۱۹، ۹] می باشد.

4- Revised USLE

شبیه ها است [۴۲ و ۴۷]. با تعیین این شاخص و ارائه ای نمایه ای آسان برای برآورد آن می توان نقشه ای فرایندگی باران را تهیه کرد [۱۱]. بررسی ها نشان داد که حاصلضرب انرژی جنبشی باران (E) و بزرگترین شدت ۳۰ دقیقه ای آن (I_{30})، شاخصی مناسب برای تعیین فرایندگی باران است. شاخص EI_{30} ، توانایی باران در جداسازی ذرات خاک را نشان می دهد. انرژی جنبشی باران در USLE از رابطه ای زیر به دست می آید [۴۶]:

$$E = \frac{\sum_{i=1}^n KE.d}{100} \quad (2)$$

که در آن: E انرژی جنبشی کل یک رخداد باران بر حسب مگاژول در هکتار ($MJ ha^{-1}$)، KE انرژی جنبشی باران به ازای ارتفاع باران برای بر حسب ژول بر متر مربع در سانتی متر باران ($Jm^{-2} cm^{-1}$) و d ارتفاع بارندگی در i امین زمانی که شدت بارندگی طی مدت بارندگی یکسان می باشد، بر حسب سانتی متر (cm) است. مقدار KE از رابطه زیر به دست می آید:

$$KE = 210/3 + 87 \log_{10} I \quad (3)$$

که در آن: I شدت بارندگی بر حسب سانتی متر بر ساعت (cm^{-1}) است.

بررسی فرایند فرایش آبی نشان داد که رواناب نیز باید به عنوان عاملی اساسی در فرایندگی و مدل سازی فرایش آبی مورد توجه قرار گیرد [۲۲]. بررسی ها نشان داد که شاخص های فرایندگی که شامل مقدار باران، شدت باران و مقدار رواناب باشند بهتر از شاخص EI_{30} بیانگر هدررفت خاک هستند [۲۲]. در نسخه تعدلی شده رابطه جهانی فرایش خاک^۲ یا MUSLE، شاخص فرایندگی بر اساس تولید رواناب بیان شده است. بر این اساس هدررفت خاک در اثر یک رگبار، رابطه ای مستقیم با شاخص فرایندگی مبتنی بر حجم و حداکثر دبی رواناب دارد [۱۰ و ۴۵]:

$$R_{MUSLE} = 11.8(Q.q_p)^{0.56} \quad (4)$$

که در آن: R_{MUSLE} شاخص فرایندگی رگبار، Q حجم رواناب تولید شده بر حسب متر مکعب و q_p دبی اوج رواناب بر حسب متر مکعب در ثانیه است. مقدار دبی اوج رواناب را نیز مطابق با روش استدلالی^۳ از رابطه ای زیر می توان تعیین کرد:

$$q_p = \frac{CIA}{360} \quad (5)$$

که در آن q_p دبی اوج رواناب بر حسب متر مکعب در ثانیه، C ضریب رواناب، I شدت بارندگی در زمان تمرکز حوضه بر حسب میلی متر در ساعت و A مساحت بر حسب هکتار می باشد.

مدل MUSLE برای برآورد رسوبدهی معلق حوضه ها به کار می رود. مزیت این رابطه امکان برآورد رسوبدهی رودخانه ها در رخدادهای منفرد می باشد [۶]. بررسی های خواجه ای و همکاران

1- A parameter

2- Modified USLE

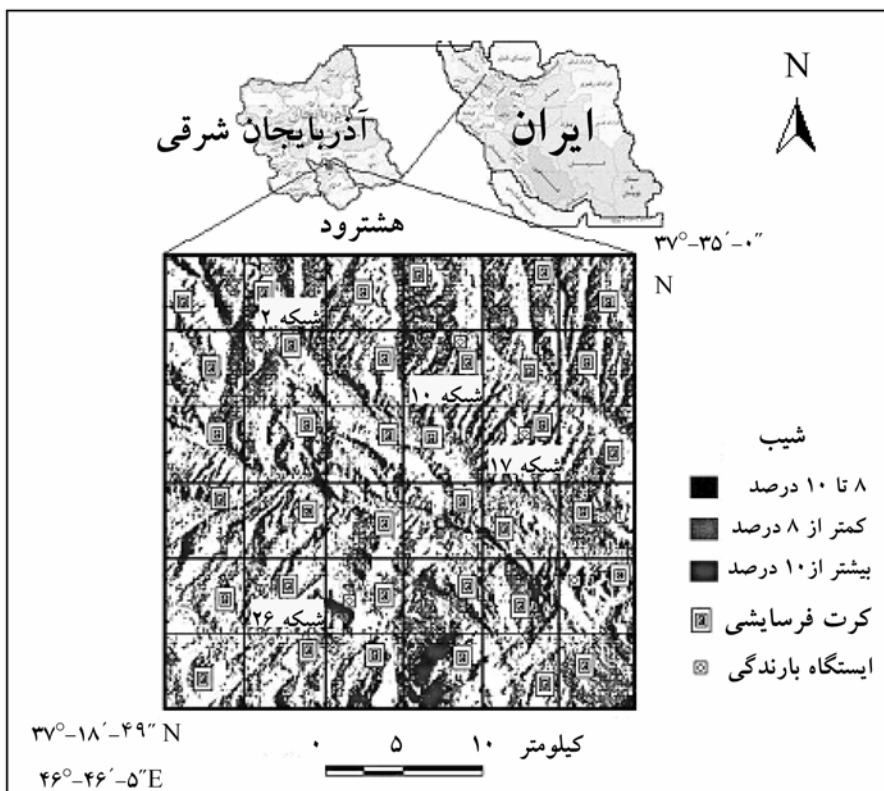
3- Rational method

مواد و روش‌ها

برای انجام این پژوهش، شهرستان هشترود واقع در جنوب استان آذربایجان شرقی انتخاب شد. این منطقه دارای آب و هوای نیمه خشک سرد با میانگین بارندگی سالانه ۳۴۰ میلی متر است [۳]. این منطقه به دلیل داشتن شرایط آب و هوایی نیمه خشک و خاک‌های تحت کشت دیم و متعدد از نظر اندازه شبیه انتخاب شد. بررسی‌های اولیه نشان داد که توزیع بارندگی طی سال به گونه‌ی معمول یکنواخت نیست و بیشتر باران‌های فصل بهار و تا حدی در فصل پاییز رخ می‌دهند. وجود باران‌های پیاپی به ویژه در اوایل بهار فرسایش زیادی را در دیمزارهای تحت آیش موجب می‌شود. فرسایش خاک در منطقه اغلب به شکل‌های سطحی، شیاری و آبکنده مشاهده می‌شود.

[۱۵]، [۱۸]، [۲۳]، [۳۲]، [۳۴]، [۴۰]، [۴۱] و USLE_M [۳۰] به طور گسترده‌ای در برآورد فرسایش آبی به کار گرفته شده است. بررسی‌ها بیانگر این است که بیش از ۷۰ درصد تغییرات در مقدار رواناب حاصل از کرت‌های کشاورزی لخت و کوددهی شده، می‌تواند با مقدار باران و یا حاصل ضرب مقدار باران و شدت ۳۰ دقیقه‌ای باران بیان شود [۳۵]. بررسی‌ها در مورد عوامل موثر بر رواناب و فرسایش تحت باران شبیه سازی شده در مراتع مدیترانه‌ای اسپانیا نشان داد که با افزایش شدت باران، مقدار رواناب به طور معنی‌دار ($R^2 = 0.76$ ، $p < 0.001$) و مقدار هدررفت خاک به گونه‌ی خطی معنی‌دار ($R^2 = 0.36$ ، $p < 0.004$) افزایش می‌یابد [۱۶].

یافتن شاخص فرسایندگی مناسب، می‌تواند در پیش‌بینی مطمئن



شکل ۱- موقعیت منطقه آزمایشی، کرت‌های فرسایشی و ایستگاه‌های اندازه‌گیری باران

برای بررسی مقدار هدررفت خاک در دیمزارهای تحت آیش و انتخاب شاخص فرسایندگی مناسب، محدوده‌ای از زمین‌های کشاورزی به ابعاد ۳۰ کیلومتر در ۳۰ کیلومتر، واقع در $37^{\circ}18'49''$ تا $37^{\circ}37'35''$ عرض شمالی و $46^{\circ}46'55''$ تا $46^{\circ}47'05''$ طول شرقی در شمال شهرستان انتخاب شد. زمین‌های این منطقه بیشتر شبیدار (بین ۵ تا ۱۵ درصد) بوده و از نظر ویژگی‌های نیمرخی، عمیق تا بسیار عمیق با بافت لوم رسی و نفوذپذیری متوسط هستند. خاک‌ها اغلب زیر کشت دیم گندم قرار دارند. برای انجام آزمایش، ۳۶ شبکه مربعی شکل به ابعاد ۵ کیلومتر در سطح منطقه مورد بررسی در نظر گرفته شد. شکل ۱ موقعیت منطقه آزمایشی، کرت‌های فرسایشی و

مقدار فرسایش در رخدادهای باران موثر باشد. شاخص‌های RUSLE، MUSLE، USLE و USLE_M به گسترده‌ای برای برآورد هدررفت خاک استفاده می‌شوند. تا کنون مطالعه‌ای دقیق برای ارزیابی شاخص‌های فرسایندگی مدل‌های یاد شده و تعیین شاخصی مناسب برای پیش‌بینی هدررفت خاک در نواحی نیمه خشک انجام نشده است. بر این اساس این پژوهش بر اساس اندازه‌گیری‌های صحرایی رواناب و هدررفت خاک به منظور دستیابی به شاخصی مناسب برای پیش‌بینی هدررفت خاک در ناحیه نیمه خشک انجام گرفت.

رسوب در کرت ها شدند. شاخص های فرسایندگی در مدل های USLE، MUSLE و RUSLE بر اساس آنچه در مقدمه بیان شد، تعیین گردیدند.

برای آگاهی از ویژگی های فیزیکی-شیمیایی خاک در منطقه، نمونه های خاک از عمق ۳۰ سانتی متر از سه نقطه در امتداد کرت ها به گونه ای تصادفی برداشت و پس از مخلوط کردن، نمونه ای مرکب فراهم و به آزمایشگاه منتقل گردید. در نمونه های خاک، درصد شن درشت (۰/۱ تا ۲ میلی متر)، شن بسیار ریز (۰/۰۵ تا ۰/۱ میلی متر)، سیلت، رس، سنگریزه (ذرات دارای قطر ۲ تا ۸ میلی متر)، ماده آلی، آهک، پتاسیم، پایداری خاکدانه و نفوذپذیری خاک اندازه گیری شدند. درصد ذرات معدنی خاک به روش پیپت [۴۴]، سنگریزه به روش وزنی [۲۴]، ماده آلی به روش والکلی بلاک [۳۳]، مقدار مواد خنثی شونده (TNV) بر حسب کربنات کلسیم به روش خنثی سازی با اسید [۲۵]، پایداری خاکدانه به روش الک ترا بر اساس میانگین وزنی قطر خاکدانه [۱۴] در آزمایشگاه و نفوذپذیری نیمرخ خاک نیز بر اساس سرعت نفوذ نهایی^۳ با روش استوانه های مضاعف در سه نقطه هر کرت در صحراء [۲۶] تعیین شد.

در تجزیه و تحلیل داده ها، نرمال بودن داده ها^۴ با آزمون کولموگروف-اسمیرنوف^۵ بررسی شد. برای آگاهی از چگونگی پراکنش مکانی باران و فرسایندگی آن در سطح منطقه، تفاوت بین مقدار باران در ایستگاه های گوناگون بارندگی با آزمون دانکن^۶ تعیین شد. همبستگی رواناب و نیز هدرفت خاک با شاخص فرسایندگی و ویژگی های باران با روش همبستگی پیرسون^۷ تعیین شد. شاخص مناسب فرسایندگی بر اساس ضریب تبیین^۸ (R₂) و سطح معنی داری بالا انتخاب شد. کارهای آماری با استفاده از نرم افزار SPSS نسخه ۱۳ انجام شد.

نتایج و تحلیل نتایج

بر اساس نتایج، خاک ها عمدتاً با بافت لوم رسی و دارای حدود ۹/۹۱ درصد ماده آلی، ۱۲/۶۷ درصد آهک، ۰/۹۰ سنگریزه هستند. پایداری خاکدانه اغلب ضعیف (با ۱/۰۶ میلی متر میانگین وزنی قطر خاکدانه) و نفوذپذیری خاک ها، متوسط (۰/۳۰) سانتی متر در ساعت) بود. پایین بودن مقدار ماده آلی می تواند دلیل اصلی ضعف پایداری خاکدانه ها باشد. مشاهده های صحرایی نشان

1- Wet-sieving

2- Mean Weight Diameter

3- Final infiltration rate

4- Data normality

5- Kolmogorov-Smirnov method

6- Duncan test

7- Pearson correlation method

8- Determination coefficient

ایستگاه های اندازه گیری باران را نشان می دهد.

برای اندازه گیری هدرفت خاک، در هر شبکه اقدام به احداث کرت های استاندارد شد. برای این منظور در هر شبکه برای کاهش تاثیر جهت شبیب بر رطوبت اولیه خاک و در نتیجه نفوذپذیری و فرسایش، تنها زمین های دارای شبیب رو به جنوب مورد توجه قرار گرفتند. در این شبکه ها برای از بین بردن اثر بقایای گیاهی بر فرسایش، زمین های در حال آیش انتخاب شدند. به این ترتیب در هر شبکه یک زمین برای ایجاد کرت های واحد در نظر گرفته شد.

برای پیاده سازی کرت ها، خاک ها در آغاز بهار ۱۳۸۴ در جهت شبیب شخم و دیسک زده شد و بقایای گیاهی سطح آنها جمع آوری شد. سپس تعداد سه کرت به عرض ۱/۸۳ متر و به طول ۲/۱ متر با فاصله ۱/۲ متر در هر شبکه ایجاد گردید. برای جلوگیری از ورود و خروج رواناب، پیرامون کرت ها با پشت های خاکی به ارتفاع ۳۰ سانتی متر بسته شد. به منظور اندازه گیری هدرفت خاک، در انتهای هر کرت لوله ای ۵ اینچی از جنس پلیکا و مخزنی با حجم ۷۰ لیتر قرار داده شد [۲۷]. در کل تعداد ۱۰۸ کرت واحد (۳ تکرار ۳۶ زمین) در سطح منطقه مورد بررسی ایجاد شدند.

برای اندازه گیری مقدار رسوب، پس از پایان هر باران طبیعی منجر به رسوب، ابتدا حجم کل مخلوط رواناب و رسوب مخزن ها به وسیله ای ظرفی با حجم معین اندازه گیری شد. برای تعیین غلظت رسوب بر اساس روش پیشنهادی حسین و همکاران [۲۸] محتویات داخل مخزن ها با همزن دستی کاملاً به صورت یکنواخت درآمد. سپس نمونه ای با حجم ۵۰ میلی لیتر از مخلوط داخل مخزن ها برداشت و در آزمایشگاه پس از جداسازی رسوب با کاغذ صافی، نمونه های رسوب در آون به مدت ۲۴ ساعت در دمای ۱۰۵ درجه سانتی گراد خشک و وزن آنها مشخص گردید. از نسبت مقدار رسوب بر حجم کل نمونه، غلظت رسوب به دست آمد. بر اساس تعیین غلظت رسوب هر نمونه و حجم کل مخلوط داخل مخزن ها، مقدار کل رسوب هر کرت در هر رگبار تعیین شد. مقدار رواناب و رسوب در رخدادهای گوناگون باران منجر به رواناب طی سال ۱۳۸۴ و ۱۳۸۵ از اندازه گیری شدند. ضریب رواناب از نسبت مقدار رواناب بر مقدار باران در هر کرت مشخص شد. دبی اوج رواناب نیز بر اساس شدت باران، مساحت کرت و ضریب رواناب از رابطه (۴) تعیین شد.

پراکنش مکانی مقدار باران در سطح منطقه با استفاده از داده های باران چهار ایستگاه بارندگی موجود بررسی شد. ایستگاه های بارندگی واقع در شبکه های ۱۰ و ۲۶ از نوع باران سنگی و در شبکه ۱۷ از نوع باران نگاری بود (شکل ۱). برای تعیین شاخص فرسایندگی در مدل های گوناگون به داده های باران (شدت و مدت) و رواناب (حجم، ضریب و حداقل دبی) نیاز بود. داده های ارتفاع (عمق) و مدت باران از منحنی های باران نگاری ایستگاه باران نگاری شبکه ۱۷ برگرفته شدند. این داده ها تنها شامل رخدادهای باران با مدت بیشتر از ۳۰ دقیقه بودند که منجر به تولید رواناب و در نتیجه

جدول ۱ - ویژگی های فیزیکی و شیمیایی خاک ها

انحراف معیار	میانگین	ویژگی
۶/۶۹	۲۶/۴۰	شن
۷/۴۸	۳۱/۵۰	سیلت
۵/۶۸	۳۱/۵۱	رس
۳/۱۰	۹/۹۱	سنگریزه
۰/۲۶	۱/۰۹	ماده آلی
۴/۳۳	۱۲/۶۷	آهک
۰/۴۴	۱/۰۶	پایداری خاکدانه
۱/۳۰	۳/۳۰	نفوذپذیری

داد که کشت متمرکز و عدم رعایت آیش و گاهی سوزاندن بقایای

گیاهی، علل اصلی پایین بودن ماده آلی در خاک ها هستند.

جدول (۱) ویژگی های فیزیکی و شیمیایی خاک های مورد بررسی را نشان می دهد.

طی دوره دو ساله پژوهش از ۹۶ رخداد باران با مدت بیشتر از ۳۰ دقیقه ، ۴۱ رخداد باران، منجر به رواناب و در نتیجه رسوب در کرت ها شدند. شدت باران در ۴۱ رخداد باران از ۲/۱۱ تا ۱۳/۷۸ میلی متر در ساعت تغییر کرد و به طور میانگین ۴/۸۴ میلی متر در ساعت بود. جدول (۲) ویژگی های باران های منجر به رواناب در منطقه مورد بررسی در سال ۱۳۸۴ و ۱۳۸۵ را نشان می دهد. نظر به بالا بودن تعداد داده ها، توزیع آماری داده های باران نرمال بود.

جدول ۲ - ویژگی های باران های منجر به رواناب در منطقه مورد بررسی در سال ۱۳۸۴ و ۱۳۸۵

تاریخ	شدت (میلی متر در ساعت)	تاریخ	شدت (میلی متر در ساعت)	بیشترین شدت ۳۰ دقیقه (میلی متر در ساعت)
۱۳۸۴/۱/۱۳	۲/۲۱	۱۳۸۵/۱/۹	۳/۰	۶/۳۱
۱۳۸۴/۱/۱۴	۲/۶۸	۱۳۸۵/۱/۱۶	۳/۲	۲/۵۴
۱۳۸۴/۱/۲۵	۴/۰۳	۱۳۸۵/۱/۱۸	۱۵/۲	۲/۱۱
۱۳۸۴/۱/۲۶	۲/۷۰	۱۳۸۵/۱/۲۸	۳/۰	۷/۸۹
۱۳۸۴/۱/۲۷	۳/۷۰	۱۳۸۵/۲/۴	۴/۸	۲/۸
۱۳۸۴/۱/۲۸	۳/۳۶	۱۳۸۵/۲/۵	۵/۴	۲/۶۴
۱۳۸۴/۲/۶	۲/۵۶	۱۳۸۵/۲/۶	۷/۶	۳/۶
۱۳۸۴/۲/۷	۴/۰۰	۱۳۸۵/۲/۱۳	۵/۴	۳/۴
۱۳۸۴/۲/۱۲	۵/۵۸	۱۳۸۵/۲/۱۴	۸/۴	۲/۹۴
۱۳۸۴/۲/۱۳	۲/۸۲	۱۳۸۵/۲/۱۵	۳/۸	۲/۵۴
۱۳۸۴/۲/۱۴	۳/۴۲	۱۳۸۵/۲/۱۶	۴/۸	۲/۵۸
۱۳۸۴/۲/۱۵	۳/۶۵	۱۳۸۵/۲/۲۰	۵/۰	۳/۷۸
۱۳۸۴/۲/۲۴	۱۰/۰۸	۱۳۸۵/۴/۸	۲۱/۸	۸/۲
۱۳۸۴/۲/۲۵	۱۳/۷۸	۱۳۸۵/۶/۲۶	۲۲/۸	۵/۳۵
۱۳۸۴/۲/۲۶	۵/۰۶	۱۳۸۵/۷/۲۳	۲۵/۰	۹/۸
۱۳۸۴/۲/۲۹	۵/۹۵	۱۳۸۵/۷/۲۸	۱۳/۰	۴/۰
۱۳۸۴/۲/۳۰	۸/۰۰	۱۳۸۵/۸/۳	۱۲/۲	۶/۶۵
۱۳۸۴/۳/۱۰	۷/۰۰	۱۳۸۵/۸/۵	۷/۰	۴/۵۶
۱۳۸۴/۳/۱۲	۲/۴۷	-	۳/۶	-
۱۳۸۴/۷/۶	۱۱/۰۸	-	۲۲/۴	-
۱۳۸۴/۱۱/۱۵	۶/۱۵	-	۶/۸	-
۱۳۸۴/۱۱/۲۰	۴/۱۳	-	۴/۶	-
۱۳۸۴/۱۲/۱۸	۲/۳۲	-	۴/۴	-

هدررفت خاک در ۴۱ رخداد باران در سطح منطقه مورد بررسی در سال ۱۳۸۴ و ۱۳۸۵ رانشان می‌دهد. بر اساس نتایج مقدار شاخص فرسایندگی در رخدادهای گوناگون باران منجر به رسوب در مدل USLE از ۱/۰۷۷ تا ۰/۰۲۰، در مدل MUSLE از ۰/۰۷۲ تا ۰/۰۱۳، در مدل RUSLE از ۰/۰۲۸ تا ۰/۰۱۰، در مدل USLE_M از ۰/۰۲۸ تا ۰/۰۱۰، در مدل USLE_MUSLE از ۰/۰۴۷۶ تغییر یافت. میانگین شاخص فرسایندگی در مدل‌های USLE_M، RUSLE، MUSLE، USLE، ۰/۰۶۳۴، ۰/۰۹۹۲ و ۰/۰۳۹۶، ۱۵/۴۴۴، ۰/۰۱۴ و ۰/۰۱۲ شاخص فرسایندگی در مدل‌های MUSLE، USLE و RUSLE در ۴۱ رخداد باران منجر به رسوب در سال ۱۳۸۴ و ۱۳۸۵ رانشان می‌دهد.

میانگین حجم رواناب در هر یک از ۴۱ رخداد باران منجر به رواناب تعیین شد. به این ترتیب ۴۱ داده حجم رواناب برای کل منطقه مورد بررسی به دست آمد. بر این اساس، حجم رواناب در سطح منطقه در ۴۱ رخداد باران بین ۰/۰۴۰۷ و ۰/۰۲۰۹ متر مکعب در هکتار (رخداد ۳۹) و ۰/۰۲۰۹ متر مکعب در هکتار (رخداد ۱۴) بود. میانگین حجم رواناب در سطح منطقه در ۴۱ رخداد باران برابر ۳/۹۴۶ متر مکعب در هکتار بود. مقدار هدررفت خاک در سطح منطقه در ۴۱ رخداد باران از ۰/۰۱۵ تا ۰/۰۲۹۸۸ تن در هکتار تغییر کرد و میانگین آن ۰/۰۰۷۳۹ تن در هکتار بود. ضریب رواناب در زمین‌های مورد بررسی در ۴۱ رخداد باران منجر به رواناب از ۰/۰۱۱ تا ۰/۰۱۴۶ تغییر یافت. دبی اوج رواناب نیز بین ۰/۰۱۲ و ۰/۰۳۶۳ بود. جدول (۳) حجم، ضریب و دبی اوج رواناب و

جدول -۳ - حجم، ضریب و دبی اوج رواناب و هدررفت خاک در ۴۱ رخداد باران در منطقه در سال ۱۳۸۴ و ۱۳۸۵

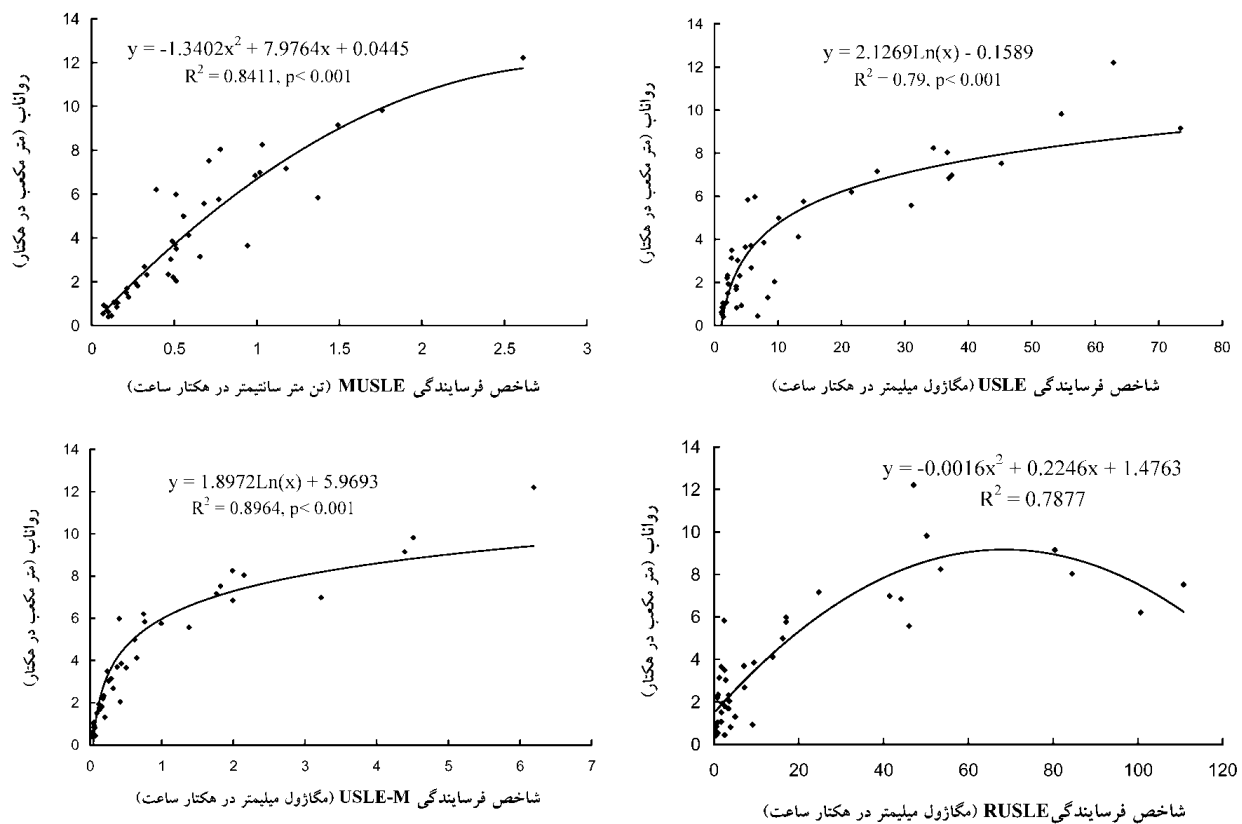
رخداد	رواناب				رخداد	رواناب				رخداد
	هدرفت خاک (ton/ha)	(m³/sec)	دبی اوج (m³/sec)	ضریب (m³/ha)		هدرفت خاک (ton/ha)	(m³/sec)	دبی اوج (m³/sec)	ضریب (m³/ha)	
۱	۰/۰۲۵۱	۰/۰۰۶۳	۰/۰۲۵	۱/۳۰۵	۲۴	۰/۰۰۱۵	۰/۰۱۹	۰/۰۲۱	۰/۰۵۳۲	
۲	۰/۰۱۰۸	۰/۰۰۲۰	۰/۰۱۹	۰/۸۱۹	۲۵	۰/۰۰۰۶۷	۰/۰۰۳۲	۰/۰۲۹	۱/۰۶۵	
۳	۰/۰۱۴۷	۰/۰۰۱۲	۰/۰۱۴	۰/۹۳۰	۲۶	۰/۰۰۰۶	۰/۰۹۶	۰/۰۵۹	۸/۰۳۳	
۴	۰/۱۴۲۲	۰/۰۱۷۲	۰/۰۰۵۴	۶/۸۴۲	۲۷	۰/۰۰۲۵۷	۰/۰۴۲	۰/۰۳۸	۱/۰۳۴	
۵	۰/۰۱۸۶	۰/۰۰۴۵	۰/۰۰۴۰	۱/۶۸۶	۲۸	۰/۰۰۳۶۷	۰/۰۷۲	۰/۰۴۸	۲/۰۳۱۴	
۶	۰/۰۰۵۹	۰/۰۰۴۹	۰/۰۰۴۶	۱/۵۰۴	۲۹	۰/۰۰۲۸۹	۰/۰۶۷	۰/۰۴۹	۱/۸۱۲	
۷	۰/۰۴۹۱	۰/۰۰۹۶	۰/۰۰۶۶	۳/۶۹۵	۳۰	۰/۱۲۴۴	۰/۰۳۶	۰/۰۳۵	۶/۲۰۱	
۸	۰/۱۰۶۷	۰/۰۰۸۵	۰/۰۰۶۲	۴/۹۸۷	۳۱	۰/۰۰۳۵۹	۰/۱۸۱	۰/۱۱۲	۳/۱۳۷	
۹	۰/۰۲۹۴	۰/۰۱۰۴	۰/۰۰۸۷	۳/۴۹۹	۳۲	۰/۰۰۷۳۴	۰/۱۱۱	۰/۰۴۹	۴/۱۱۹	
۱۰	۰/۰۱۲۰	۰/۰۰۵۸	۰/۰۰۵۷	۱/۹۳۰	۳۳	۰/۰۰۰۳۹	۰/۰۴۸	۰/۰۴۲	۰/۰۸۴۹	
۱۱	۰/۰۳۸۳	۰/۰۰۵۸	۰/۰۰۵۶	۲/۶۸۴	۳۴	۰/۰۰۴۱۴	۰/۱۲۹	۰/۰۹۳	۲/۰۳۳۹	
۱۲	۰/۰۶۲۱	۰/۰۰۸۷	۰/۰۰۵۷	۳/۸۵۰	۳۵	۰/۰۰۵۴۶	۰/۱۰۶	۰/۰۷۲	۳/۰۲۴	
۱۳	۰/۰۰۱۵	۰/۰۰۳۶	۰/۰۱۱	۰/۴۴۳	۳۶	۰/۰۰۲۷۶	۰/۰۳۳۷	۰/۰۸۳	۹/۰۸۲۲	
۱۴	۰/۲۵۳۸	۰/۰۰۸۷	۰/۰۰۴۰	۷/۵۲۳	۳۷	۰/۰۰۹۸۸	۰/۰۵۴۹	۰/۰۹۳	۱۲/۰۰۹	
۱۵	۰/۰۵۵۷	۰/۰۱۷۸	۰/۰۰۴۴	۲/۰۳۸	۳۸	۰/۰۱۷۱۶	۰/۱۷۶	۰/۰۸۶	۶/۰۹۸۲	
۱۶	۰/۰۰۱۷	۰/۰۰۳۳	۰/۰۰۲۰	۰/۴۰۷	۳۹	۰/۰۱۰۶۴	۰/۱۰۷	۰/۰۴۵	۶/۰۵۷۱	
۱۷	۰/۲۱۴۶	۰/۰۱۵۵	۰/۰۰۵۸	۸/۲۴۵	۴۰	۰/۰۱۳۸۷	۰/۰۲۳۳	۰/۰۶۹	۷/۰۱۶۷	
۱۸	۰/۱۲۲۱	۰/۰۱۳۱	۰/۰۰۷۱	۵/۷۵۹	۴۱	۰/۰۰۵۷۷	۰/۰۲۹۵	۰/۱۰۴	۳/۰۶۵۰	
۱۹	-	-	-	-	-	۰/۰۰۰۲۱	۰/۰۳۲	۰/۰۳۲	۰/۰۶۱۴	
۲۰	-	-	-	-	-	۰/۰۱۵۷۹	۰/۰۲۶۸	۰/۰۶۰	۹/۰۱۴۷	
۲۱	-	-	-	-	-	۰/۰۰۲۸۵	۰/۰۳۶۳	۰/۱۴۶	۵/۰۸۳۲	
۲۲	-	-	-	-	-	۰/۰۰۰۶۸	۰/۱۵۳	۰/۰۹۲	۲/۰۲۰۴	
۲۳	-	-	-	-	-	۰/۰۰۳۸۷	۰/۰۶۰	۰/۰۶۴	۵/۰۹۸۴	

جدول ۴- شاخص فرسایندگی در مدل های USLE، MUSLE، USLE_M و RUSLE در ۴۱ رخداد باران در سال ۱۳۸۴ و ۱۳۸۵

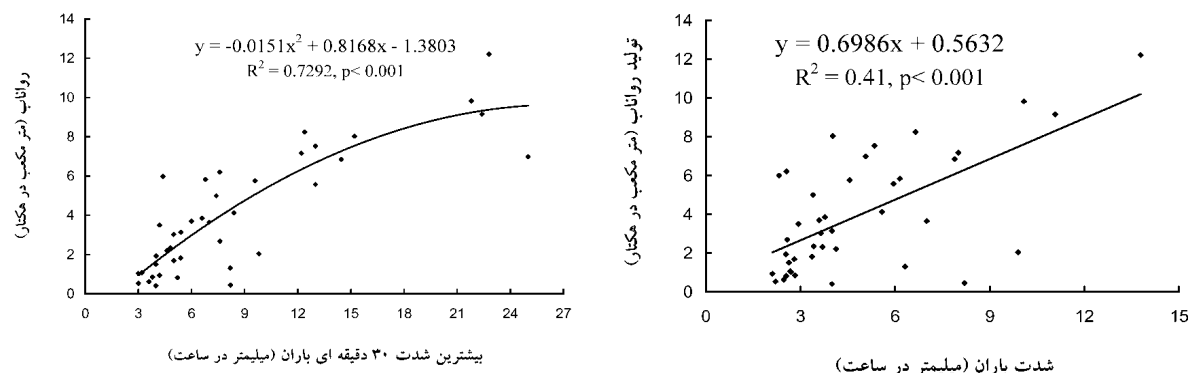
شاخص فرسایندگی در سال ۱۳۸۵				رخداد	شاخص فرسایندگی در سال ۱۳۸۴				رخداد
RUSLE	USLE-M	MUSLE	USLE		RUSLE	USLE-M	MUSLE	USLE	
۵/۰۲۷	۰/۲۰۶	۰/۲۲۲	۸/۳۶۲	۲۴	۰/۹۰۶	۰/۰۲۴	۰/۰۶۸	۱/۱۷۲	۱
۳/۹۱۶	۰/۰۶۷	۰/۰۹۰	۳/۴۷۵	۲۵	۱/۷۰۶	۰/۰۵۵	۰/۱۳۵	۱/۸۷۵	۲
۹/۱۰۸	۰/۰۵۹	۰/۰۷۲	۴/۲۲۳	۲۶	۸۴/۴۷۰	۲/۱۵۰	۰/۷۷۹	۳۶/۶۴۲	۳
۴۴/۱۳۲	۰/۹۹۲	۰/۹۸۸	۳۶/۹۱۹	۲۷	۰/۸۷۱	۰/۰۵۰	۰/۱۵۶	۱/۳۰۳	۴
۳/۴۱۷	۰/۱۳۶	۰/۲۱۳	۳/۳۸۱	۲۸	۳/۴۸۸	۰/۱۹۲	۰/۳۳۳	۳/۹۸۰	۵
۱/۷۶۶	۰/۰۹۵	۰/۲۰۷	۲/۰۹۵	۲۹	۲/۴۹۴	۰/۱۶۶	۰/۲۷۷	۳/۳۷۸	۶
۷/۱۰۸	۰/۳۷۹	۰/۵۰۴	۵/۷۳۶	۳۰	۱۰۰/۶۴۳	۰/۷۴۷	۰/۳۴۰	۲۱/۵۴۵	۷
۱۶/۲۴۰	۰/۶۲۲	۰/۵۵۵	۱۰/۰۱۰	۳۱	۱/۲۶۰	۰/۲۹۸	۰/۶۵۶	۲/۶۵۶	۸
۲/۵۰۷	۰/۲۳۹	۰/۵۱۲	۲/۷۳۶	۳۲	۱۳/۸۹۱	۰/۶۵۱	۰/۵۸۶	۱۳/۲۰۴	۹
۱/۹۳۴	۰/۱۲۱	۰/۲۶۴	۲/۱۳۸	۳۳	۰/۵۸۶	۰/۰۵۲	۰/۱۵۱	۱/۲۳۵	۱۰
۷/۲۲۴	۰/۳۲۲	۰/۳۱۸	۵/۷۵۸	۳۴	۰/۹۹۹	۰/۱۹۰	۰/۴۶۴	۲/۰۳۷۱	۱۱
۹/۴۶۴	۰/۴۳۹	۰/۴۸۸	۷/۷۴۶	۳۵	۲/۸۰۲	۰/۲۶۰	۰/۴۷۹	۳/۶۱۷	۱۲
۲/۵۴۵	۰/۰۷۳	۰/۱۲۰	۶/۸۰۹	۳۶	۵۰/۱۶۱	۴/۵۱۰	۰/۷۶۱	۵۴/۶۳۴	۱۳
۱۱۰/۷۸۷	۱/۸۱۹	۰/۷۱۰	۴۵/۲۲۲	۳۷	۴۷/۱۱۵	۶/۱۹۰	۲/۶۱۳	۶۲/۸۸۱	۱۴
۳/۶۶۸	۰/۰۴۲	۰/۵۱۲	۹/۴۵۸	۳۸	۴۱/۴۳۱	۳/۲۲۲	۱/۰۱۸	۳۷/۳۷۴	۱۵
۰/۴۷۶	۰/۰۲۸	۰/۱۰۱	۱/۳۹۸	۳۹	۴۶/۰۴۵	۱/۳۸۱	۰/۶۷۹	۳۰/۹۸۶	۱۶
۵۳/۴۷۴	۱/۹۸۷	۱/۰۳۳	۳۴/۴۷۶	۴۰	۲۴/۷۴۸	۱/۷۶۶	۱/۱۷۶	۲۵/۶۱۶	۱۷
۱۷/۰۳۵	۰/۹۹۴	۰/۷۶۹	۱۳/۹۸۵	۴۱	۱/۷۵۰	۰/۰۵۰	۰/۹۴۴	۴/۸۲۲	۱۸
-	-	-	-	-	۰/۵۵۵	۰/۰۳۵	۰/۱۰۰	۱/۰۷۷	۱۹
-	-	-	-	-	۸۰/۴۰۹	۰/۳۹۲	۱/۴۹۳	۷۳/۴۰۲	۲۰
-	-	-	-	-	۲/۴۱۳	۰/۷۶۱	۱/۳۷۰	۵/۲۲۰	۲۱
-	-	-	-	-	۰/۷۶۹	۰/۱۷۹	۰/۴۹۵	۱/۹۵۳	۲۲
-	-	-	-	-	۱۷/۰۳۴	۰/۴۰۸	۰/۵۱۰	۶/۳۴۶۵۸۸	۲۳

است [۱۵]. نتایج این پژوهش همچنین نظر فاستر و همکاران [۲۲] در مورد اهمیت شاخص رواناب در کنار شاخص باران در تعیین عامل فرسایندگی را تایید می کند. از آنجا که تعیین شاخص فرسایندگی در برخی از مدل ها در کنار آگاهی از ویژگی های باران (شدت، بیشترین شدت ۳۰ دقیقه ای و انرژی جنبشی باران)، نیازمند اندازه گیری رواناب (حجم، ضریب و دبی اوج رواناب) می باشد، بنابراین یافتن شاخصی ساده برای برآورد رواناب دارای اهمیت است. از این رو رابطه بین ویژگی های باران (شدت، بیشترین شدت ۳۰ دقیقه و انرژی جنبشی) و رواناب بررسی شد. شکل (۳) رابطه بین رواناب و ویژگی های باران در منطقه مورد بررسی در ۴۱ رخداد باران را نشان می دهد.

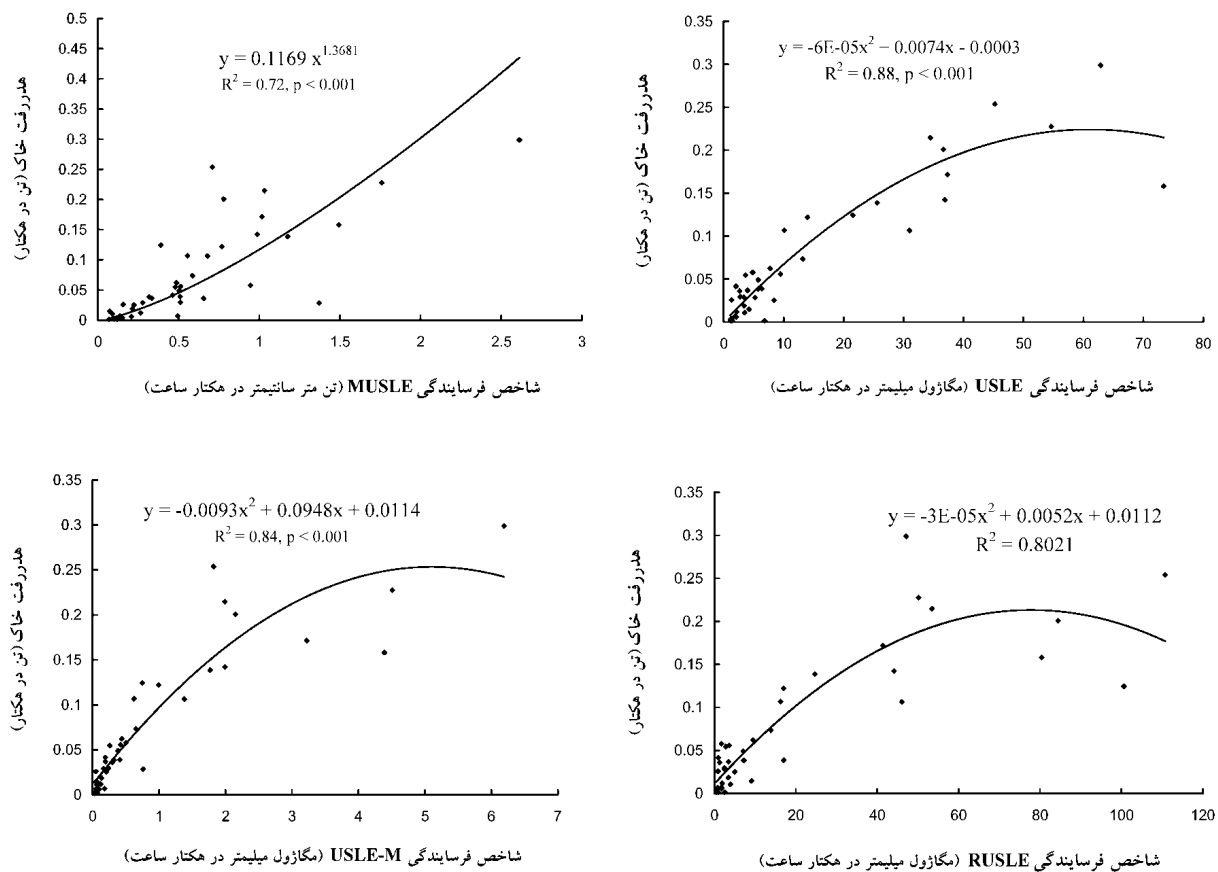
نتایج نشان داد که بین رواناب و شاخص فرسایندگی در مدل های USLE، MUSLE، USLE_M و RUSLE معنی دار در سطح احتمال 0.000 با ضریب تبیین (R^2) به ترتیب برابر 0.79 ، 0.84 ، 0.79 و 0.90 وجود دارد. رابطه ای بین رواناب و شاخص فرسایندگی در مدل های USLE_M و RUSLE از نوع تابع لگاریتمی و در مدل های MUSLE و USLE می باشد. تابع درجه دوم بود. شکل (۲) رابطه بین رواناب و شاخص فرسایندگی در مدل های USLE، MUSLE و RUSLE و USLE_M در ۴۱ رخداد باران را نشان می دهد. در پژوهش های حسین و همکاران [۲۷] رابطه ای خطی معنی دار ($R^2 = 0.58$) بین عمق رواناب و شاخص فرسایندگی (EI_{30}) به اثبات رسیده



شکل ۲- رابطه بین رواناب و شاخص فرسایندگی در مدل های USLE ، MUSLE ، USLE_M و RUSLE در ۴ رخداد باران



شکل ۳- رابطه بین رواناب و ویژگی های باران در منطقه‌ی مورد بررسی در ۴ رخداد باران



شکل ۴- رابطه‌ی بین هدررفت خاک و شاخص فرسایندگی در مدل‌های USLE، MUSLE، USLE_M و RUSLE در ۴۱ رخداد باران

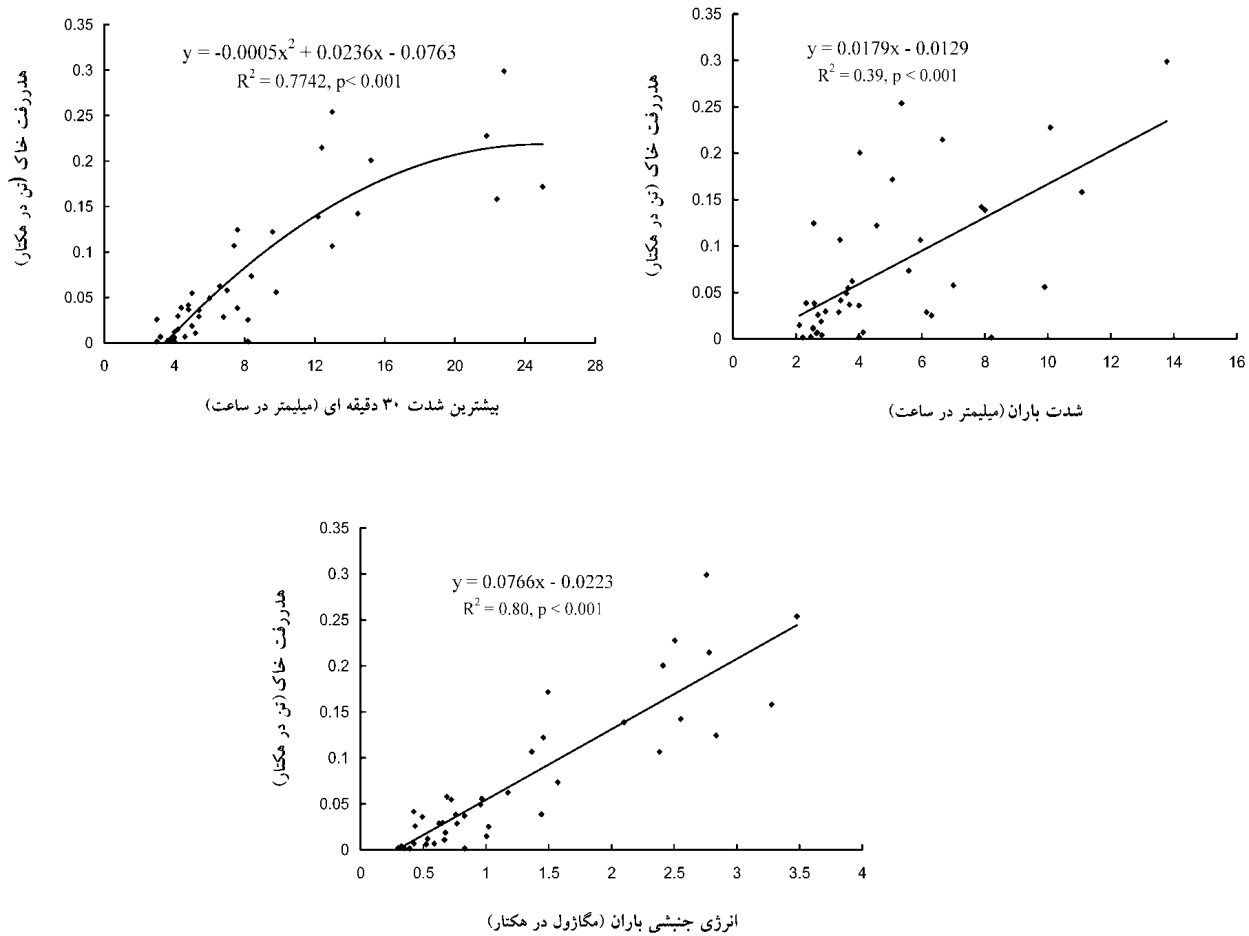
صورت تابع توانی و در سایر مدل‌ها به صورت تابع درجه دوم بود. شکل (۴) رابطه‌ی بین هدررفت خاک و شاخص فرسایندگی در مدل‌های MUSLE، USLE، USLE_M و RUSLE در ۴۱ رخداد باران را نشان می‌دهد.

این نتایج نشان می‌دهد که بیشترین تغییرات در هدررفت خاک در منطقه مورد بررسی با شاخص فرسایندگی (USLE) ($88/0=2R$) قابل تبیین است. در پژوهش کاینل و ریس [۳۰] با آن که هر دو مدل USLE و USLE_M در پیش‌بینی فرسایش خاک موثر شناخته شدند، ولی کارآیی مدل USLE نسبت به MUSLE، هنگامی که میزان نفوذ آب باران به خاک افزایش می‌پابد، کمتر بود. بررسی‌های خواجه‌ای و همکاران [۴] و سرخوش [۸] نشان داد که در صورت تصحیح ضرایب مدل MUSLE، این مدل کارآیی مناسبی در برآورد رسوب ناشی از رگبارها خواهد داشت. نتایج این پژوهش در مورد همبستگی بالای بین هدررفت خاک با شاخص فرسایندگی مدل RUSLE، یافته‌های میرزاپی و همکاران [۱۲] در مورد دقیق کافی این مدل در برآورد رسوب را تایید می‌کند.

برای پیش‌بینی آسان هدررفت خاک در رخدادهای گوناگون باران، رابطه بین هدررفت خاک و ویژگی‌های باران نیز بررسی شد. شکل (۵) رابطه‌ی بین هدررفت خاک و ویژگی‌های باران در منطقه

نتایج نشان داد که مقدار رواناب همبستگی مثبت معنی‌دار ($p < 0.001$) با شدت باران ($R^2 = 0.41$)، بیشترین شدت ۳۰ دقیقه‌ای ($R^2 = 0.73$) و انرژی جنبشی آن ($R^2 = 0.77$) دارد. در حقیقت تغییرات رواناب در منطقه مورد بررسی با شاخص انرژی جنبشی باران بالاترین همبستگی را دارد. در پژوهش رائو و همکاران [۳۵] در ناحیه نیمه خشک هند، رابطه‌ی بین رواناب و باران با شاخص PI₃₀ بیان شد. این شاخص نشان می‌دهد که حاصل‌ضرب بیشینه‌ی شدت ۳۰ دقیقه‌ای باران (I₃₀) و مقدار باران (P) اثر مستقیمی در تولید رواناب در نقاط گوناگون (با $R^2 = 0.73$ تا 0.83) دارد. یافته‌های آرنائز و همکاران [۱۶] نیز نشان می‌دهد که بین رواناب و شدت باران، رابطه‌ی خطی معنی‌دار ($p < 0.001$ و $R^2 = 0.77$) وجود دارد.

نتایج نشان داد که همبستگی متفاوتی بین هدررفت خاک و شاخص‌های فرسایندگی در مدل‌های گوناگون وجود دارد. بین هدررفت خاک و شاخص فرسایندگی در مدل‌های USLE_M، MUSLE، USLE، RUSLE، MUSLE، USLE_M و RUSLE همبستگی مثبت معنی‌داری در سطح احتمال ۰.۰۰۱ وجود داشت و ضریب تبیین (R^2) آن به ترتیب برابر ۰.۷۲، ۰.۸۸، ۰.۸۰ و ۰.۸۴ بود. رابطه بین هدررفت خاک و شاخص فرسایندگی در مدل MUSLE به



شکل ۵- رابطه بین هدر رفت خاک و ویژگی های باران در منطقه‌ی مورد بررسی در ۴۱ رخداد باران

هدر رفت خاک رابطه خطی مستقیم با رواناب ($R^2 = 0.36$) داشته و رواناب نیز تحت تاثیر مستقیم شدت باران قرار دارد. در یافته های دزایر و همکاران [۲۰] در منطقه نیمه خشک اسپانیا، افزایش هدر رفت خاک با افزایش میانگین شدت بارندگی، به جز در مورد باران های با شدت زیاد و مدت کوتاه، نتیجه گیری شده است. همچنین نتایج پژوهش مارتینز-زاوالا و همکاران [۳۱] نیز بیانگر وجود یک رابطه‌ی نمایی بین هدر رفت خاک با رواناب و رواناب با شدت و انرژی جنبشی باران می باشد.

نتیجه گیری

با توجه به وسعت نواحی نیمه خشک در ایران، یافتن شاخص فرسایندگی مناسب برای پیش‌بینی مطمئن مقدار هدر رفت خاک در این مناطق دارای اهمیت است. بر این اساس، هدر رفت خاک تحت رخدادهای طبیعی باران طی دو سال در ناحیه‌ای نیمه خشک در شمال غرب کشور اندازه گیری شد و شاخص‌های فرسایندگی بر اساس مدل‌های USLE، MUSLE، USLE_M و RUSLE در رخدادهای طبیعی باران تعیین شدند. تولید رواناب همبستگی بالاتری با شاخص فرسایندگی مدل ($R^2 = 0.90$) نشان می دهد که

مورد بررسی در ۴۱ رخداد باران را نشان می دهد. بر اساس این نتایج، هدر رفت خاک همبستگی مثبت معنی دار ($R^2 = 0.39$) با شدت باران ($R^2 = 0.80$)، بیشترین شدت ۳۰ دقیقه‌ای ($R^2 = 0.77$) و انرژی جنبشی آن ($R^2 = 0.80$) دارد. رابطه‌ی هدر رفت خاک با شدت و نیز انرژی جنبشی باران از نوع خطی و رابطه‌ی آن با بیشترین شدت ۳۰ دقیقه‌ای باران از نوع تابع درجه دوم بود. نتایج پژوهش‌ها اغلب نشان می دهد که شدت باران، عاملی مهم در میزان پاشمان خاک و در نتیجه هدر رفت خاک است [۱۷]. این نتیجه گزارش‌های خالدیان و شاهروی [۵] و بهزاد فر و همکاران [۱] در مورد اهمیت شدت بارندگی در تعیین فرسایندگی باران را تایید می کنند. این پژوهش نشان داد که انرژی جنبشی باران مناسب‌ترین شاخص برای تعیین مقدار هدر رفت خاک در منطقه مورد بررسی است. در پژوهش‌های پیشین نیز اهمیت انرژی جنبشی باران به عنوان شاخص فرسایندگی و هدر رفت خاک بیان شده است [۲۲]. بررسی‌های همتی و همکاران [۱۳] در روستای کبو데 علیا در کرمانشاه نشان داد که شاخص فرسایندگی EI_{60} به عنوان بهترین شاخص، بالاترین مقدار همبستگی و معنی داری را با مقادیر تلفات خاک دارد. نتایج پژوهش آرنائز و همکاران [۱۶] نشان می دهد که

- همایش آبخیزداری و مدیریت استحصال آب در حوضه های آبخیز، بوشهر، پژوهشکده حفاظت خاک و آبخیزداری، صفحه ۳۶-۳۴.
- ۹- صادقی، س.ج.ر. و بهزادفر، م. ۱۳۸۳. بررسی ارتباط بین پارامترهای بارندگی و عامل فرسایندگی آن در ایستگاه های هواشناسی استان مازندران و گلستان. نشریه آب و آبخیز، جلد ۱، صفحه ۱۰-۲.
- ۱۰- صادقی، س.ج.ر.، علافی بادی، م.، دشتی مرولی، م. و یغمایی، م. ۱۳۸۶. کاربرد MUSLT در برآورد رسوب ناشی از رگبارهای منفرد. دهمین کنگره علوم خاک ایران، کرج، صفحه ۲۳۳-۲۳۱.
- ۱۱- صادقی فرد، د. ۱۳۸۵. پنهان بندی ضریب فرسایندگی باران در ایران. پایان نامه کارشناسی ارشد عمران دانشکده مهندسی عمران، دانشگاه علم و صنعت ایران. صفحه ۷۸-۵۶.
- ۱۲- میرزایی، م.، نظرعلوی، ع. و اعلم الهدی، ع. ۱۳۸۵. کاربرد و ارزیابی مدل فرسایش RUSLE در حوزه آبخیز جاجرود (رودک) به کمک G.I.S، اولین همایش تخصصی مهندسی محیط زیست، دانشکده محیط زیست، دانشگاه تهران، صفحه ۱۱۱-۱۱۲.
- ۱۳- همتی، م.، احمدی، ح.، نیک کامی، د. و زهتابیان، غ.ر. ۱۳۸۶. تعیین بهترین شاخص فرسایندگی باران در اقلیم نیمه خشک سرد ایران (مطالعه موردنی ایستگاه تحقیقات حفاظت خاک کبوده علیا-کرمانشاه). چهارمین همایش ملی علوم و مهندسی آبخیزداری ایران- مدیریت حوزه های آبخیز. کرج، دانشکده منابع طبیعی، دانشگاه تهران، صفحه ۱۵۷-۱۵۸.
- 14- Angers, D.A. and G.R. Mehuys. 1993. Aggregate stability to water. In: Cartner, M.R. (Ed.), Soil sampling and methods of analysis. Canadian Society of Soil Science. Lewis Publishers, Boca Raton, Canada, pp. 651-657.
- 15- Angima, S.D. Stott, D.E. O'Neill, M.K. Ong, C.K. and Weesies, G.A. 2003. Soil erosion prediction using RUSLE for central Kenyan highland conditions. Agriculture, Ecosystems and Environment, 97: 295-308.
- 16- Arnaez, J., Lasanta, T., Ruiz-Flano, P. and Ortigosa, L. 2007. Factors affecting runoff and erosion under simulated rainfall in Mediterranean vineyards. Soil & Tillage Research 93: 324-334.
- 17- Bisal, F. 1960. The effect of raindrop size and impact velocity on sand splash. Canadian Journal of Soil Science, 40: 242-245.
- 18- Capolongo, D., Diodato, N., Mannaerts, C.M., Piccarreta, M. and Strobl, R.O. 2008. Analyzing

داشت. انرژی جنبشی باران، شاخصی قابل اطمینان (۰/۰۱، p²=۰/۷۷) برای پیش‌بینی آسان مقدار رواناب بود. شاخص فرسایندگی مدل (EI₃₀) USLE، دقیق‌تر از شاخص فرسایندگی سایر مدل‌ها بیانگر تغییرات هدررفت خاک بود (۰/۰۰۱، p²=۰/۸۸). انرژی جنبشی باران نیز شاخصی ساده برای پیش‌بینی آسان هدررفت خاک در رخدادهای باران بود که ۸۰ درصد تغییرات هدررفت خاک در خاک‌های منطقه را تبیین کرد. بر اساس نتایج، شاخص فرسایندگی مدل USLE، به عنوان شاخصی مناسب برای پیش‌بینی مطمئن مقدار هدررفت خاک در رخدادهای طبیعی باران در منطقه نیمه خشک مورد بررسی است. برای پیش‌بینی آسان هدررفت خاک، از شاخص انرژی جنبشی باران می‌توان بهره گرفت.

منابع

- بهزادفر، م.، مرادی، ح. و صادقی، س.ج.ر. ۱۳۸۴. مدل سازی عامل فرسایندگی باران برای رگبارهای منفرد: مطالعه موردنی استان خوزستان. مجله علوم انسانی ۱۲(۳): ۴۹-۴۱.
- پورعبدالله، م. و تجریشی، م. ۱۳۸۵. مدل سازی فرسایش حوضه‌ای به کمک مدل‌های RUSLE و SWAT منطقه مورد مطالعه: زیر حوضه امامه. هفتمین کنگره بین‌المللی مهندسی عمران. تهران، دانشگاه تربیت مدرس، صفحه ۲۵-۲۳.
- حکیمی، م. ۱۳۶۵. گزارش خاکشناسی و طبقه‌بندی اراضی اجمالی منطقه هشت‌رود. نشریه شماره ۷۶۷، وزارت کشاورزی، سازمان تحقیقات کشاورزی و منابع طبیعی، موسسه تحقیقات خاک و آب، صفحه ۱۲-۳.
- خالدیان، ح. و شاهویی، س.ص. ۱۳۸۴. بررسی رابطه شدت بارندگی با انرژی جنبشی واحد بارندگی و تعیین فرسایندگی سالانه باران در استان کردستان. سومین همایش ملی فرسایش و رسوب، کرج، صفحه ۲۳۵-۲۳۱.
- خواجه‌ای، ا.، بروشکه، ا.، سکوتی، ر. و عرب خدری، م. ۱۳۸۰. بررسی قابلیت کاربرد مدل تجربی MUSLE برای برآورد رسوب حاصل از رگبارهای منفرد و رسوب سالانه در حوضه آبخیز رودخانه شهرچای. همایش ملی مدیریت اراضی- فرسایش خاک و توسعه پایدار، اراک، صفحه ۴۶-۴۵.
- رضایی، م.، قرقه‌چی، ش. و قانعی مطلق، غ.ر. ۱۳۸۶. برآورد فرسایش خاک در حوزه زیارت با استفاده از مدل دهمین کنگره علوم خاک ایران، کرج، صفحه ۱۱۹-۱۱۷.
- رضائی فرد، م.، تلوری، ع.ر. و عرب خدری، م. ۱۳۸۰. بررسی کارائی MUSLE در برآورد رسوب رویدادهای منفرد در زیر حوضه در حوضه لتبان. همایش ملی مدیریت اراضی- فرسایش خاک و توسعه پایدار، اراک، صفحه ۷۶-۷۳.
- سرخوش، ا. ۱۳۸۰. بررسی کارائی مدل MUSLE در برآورد رسوب و قوعی و سالیانه سیل در حوضه آبخیز درکه. نخستین

- 94: 220-228.
- 28- Hussein, M. 1998. Water erosion assessment and control in Northern Iraq. *Soil & Tillage Research*, 45: 161-173.
- 29- Kinnell, P.I.A. 2000. AGNPS-UM: applying the USLE-M within the agricultural non point source pollution model. *Environmental Modelling & Software*, 15: 331-341.
- 30- Kinnell, P.L.A. and Risse, L.M. 1998. USLE-M: Empirical modeling rainfall erosion through runoff and sediment concentration. *Soil Sci. Soc. Am. J.*, 62: 1667-1672.
- 31- Martínez-Zavala, L., Jordán López, A. and Bellinfante, N. 2008. Seasonal variability of runoff and soil loss on forest road backslopes under simulated rainfall. *Catena*, 74 : 73-79.
- 32- Millward, A.A. and Mersey, J.E. 1999. Adapting the RUSLE to model soil erosion potential in a mountainous tropical watershed. *Catena*, 38: 109-129.
- 33- Nelson, D.W. and L.E. Sommer. 1982. Total carbon, organic carbon, and organic matter. In: A. L. Page (Ed.) *Methods of Soil Analysis*. 2nd Ed. ASA Monogr. Amer. Soc. Agron. Madison, 9(2): 539-579.
- 34- Nyakatawa, E.Z., Reddy, K.C. and Lemunyon, J.L. 2001. Predicting soil erosion in conservation tillage cotton production systems using the revised universal soil loss equation (RUSLE). *Soil & Tillage Research*, 57: 213-224.
- 35- Rao, K.P.C., Steenhuisb, T.S., Coglec, A.L. Srinivasan, S.T., Yule, D. F. Smith, G.D. 1998. Rainfall infiltration and runoff from an Alfisol in semi-arid tropical India. II. Tilled systems *Soil & Tillage Research*, 48: 61-69
- 36- Rejman, J., Turski, R. and Paluszek, J. 1998. Spatial and temporal variability in erodibility of loess soil. *Soil & Tillage Research*, 46: 61-68.
- 37- Renard, K.G., Foster, G.R., Weesies, G.A., McCool, D.K., Yoder, D.C. 1997. Predicting soil erosion by water: A guide to conservation planning with the Revised Universal Soil Loss Equation (RUSLE). U.S. Department of
- temporal changes in climate erosivity using a simplified rainfall erosivity model in Basilicata (southern Italy). *Journal of Hydrology* 356: 119-130.
- 19- Cohen, J.M., Shepherd, K.D. and Walsh, M.G. 2005. Empirical reformulation of the universal soil loss equation for erosion risk assessment in a tropical watershed. *Geoderma*, 124: 235-252.
- 20- Desir, G. and Marin, C. 2006. Factors controlling the erosion rates in a semi-arid zone (Bardenas Reales, NE Spain). *Catena*, 66: 1-10.
- 21- Foster, G.R., Young, R.A.? Romkens, M.J.M. and Onstad, C.A. 1985. Processes of soil erosion by water. In: Follett, R. F. and Stewart, B. A. *Soil erosion and crop productivity*. American Society of Agronomy? Inc., Soil Science Society of America, Madison? Wisconsin, USA, pp. 137-59.
- 22- Foster, G.R., Lombardi, F. and Moldenhauer, W.C. 1982. Evaluation of rainfall-runoff erosivity factors for individual storms. *Trans. ASAE*, 25: 124-129.
- 23- Free, F. 1960. Erosion characteristics of rainfall. *Agricultural engineering*, 41: 447-449.
- 24- Gee, G.W. and J.W. Bauder. 1980. Particle-size analysis. In: Klutem A., *Methods of Soil analysis*, Part 1, *Physical And Mineralogical Methods*, Second eddition, Agronomy, Soil Science Society of America, Inc., Madison, Wisconsin, USA, pp. 383-385.
- 25- Goh, T.B., R.J.St. Arnaud, and Mermut. A.R. 1993. Aggregate stability to water. In: Cartner, M. R. (Ed.), *Soil sampling and methods of analysis*. Canadian Society of Soil Science. Lewis Publishers, Boca Raton, Canada, pp. 177-180.
- 26- Harteg, K.H. and R. Horn. 1989. *Die Physikalische Untersuchung von Böden*: 2. Auflage. Ferdinand Enke Verlag, Stuttgart. In: Scholten, T. 1997. Hydrology and erodibility of the soils and saprolite cover of the Swaziland Middleveld. *Soil Technology*, 11: 247-262.
- 27- Hussein, M.H., T.H. Kariem, and Othman, A.K. 2007. Predicting soil erodibility in northern Iraq natural runoff data. *Soil & Tillage Research*,

- 42- Silva, A.M. 2004. Rainfall erosivity map for Brazil. *Catena* 57: 251-259.
- 43- Sonneveld, B.G.J.S. and Nearing, M.A. 2003. A nonparametric/parametric analysis of the Universal Soil Loss Equation. *Catena*, 52: 9-21.
- 44- SSEW. 1982. Soil Survey Laboratory Methods. Technical Monographs No. 6. Harpenden. UK. pp. 112-113.
- 45- Williams, J.R. and Berndt, H.D. 1977. Sediment yield prediction based on watershed hydrology. *Trans. Am. Soc. Agric. Eng.*, 20: 1100-1104.
- 46- Wischmeier, W.H. and Smith, D.D. 1978. Predicting rainfall erosion losses: a guide to conservation planning. Agriculture Handbook No. 537. US Department of Agriculture. Washington, DC. pp. 13-27.
- 47- Yin, S., Xie, Y., Nearing, M.A. and Wang, C. 2007. Estimation of rainfall erosivity using 5- to 60-minute fixed-interval rainfall data from China. *Catena* 70: 306-312.
- Agriculture, Agriculture Handbook No. 703, pp. 404.
- 38- Santos Loureiro, N. and Azevedo Cotinho, M. 2001. A new procedure to estimate the RUSLE EI30 index, based on monthly data and applied to the Algarve region, Portugal. *Journal of Hydrology*, 250: 12-18.
- 39- Sawamura, M., Morita, M. and Hirano, H. 2003. Enlargement of bulk superconductors by the MUSLE technique. *Physica C*, 392-396: 441-445.
- 40- Shamshad, A., Azhari, M.N., Isa, M.H., Wan Hussin, W.M.A. and Parida, B.P. 2008. Development of an appropriate procedure for estimation of RUSLE EI30 index and preparation of erosivity maps for Pulau Penang in Peninsular Malaysia. *Catena*, 72: 423-432.
- 41- Shi, Z.H., Cai, C.F., Ding, S.W., Wang, T.W. and Chow, T.L. 2004. Soil conservation planning at the small watershed level using RUSLE with GIS: a case study in the Three Gorge Area of China. *Catena*, 55: 33-48.